

Análisis espectral y filtrado de batidos

Integrantes:

Andreu, Gonzalo

Malpartida, Bryan

Pugliese, Facundo

Serie de Fourier

Si $S(t)$ es una función de periodo τ :

$$S(t) = \frac{a_0}{2} + \sum_{n=1}^{\infty} \alpha_n \cos\left(\frac{n\pi t}{\tau} + \phi_n\right)$$

Donde:

$$a_n = \int_{-\tau}^{\tau} S(t) \cos\left(\frac{n\pi t}{\tau}\right) dt \quad \alpha_n = \sqrt{a_n^2 + b_n^2}$$

$$b_n = \int_{-\tau}^{\tau} S(t) \sin\left(\frac{n\pi t}{\tau}\right) dt \quad \phi_n = -\arctan\left(\frac{b_n}{a_n}\right)$$

Cuyo n -ésimo armónico es $\alpha_n \cos\left(\frac{n\pi t}{\tau} + \phi_n\right)$ de frecuencia $f_n = \frac{n}{2\tau}$

Potencia espectral

Si $S(t)$ es una función definida en el intervalo $[t_0, t_1]$, se define

$$P_S(\omega) = \left| \frac{1}{t_1 - t_0} \int_{t_0}^{t_1} S(t) \cdot e^{-i\omega t} dt \right|^2 = \left(\frac{1}{t_1 - t_0} \int_{t_0}^{t_1} S(t) \cdot \cos(\omega t) dt \right)^2 + \left(\frac{1}{t_1 - t_0} \int_{t_0}^{t_1} S(t) \cdot \sin(\omega t) dt \right)^2$$

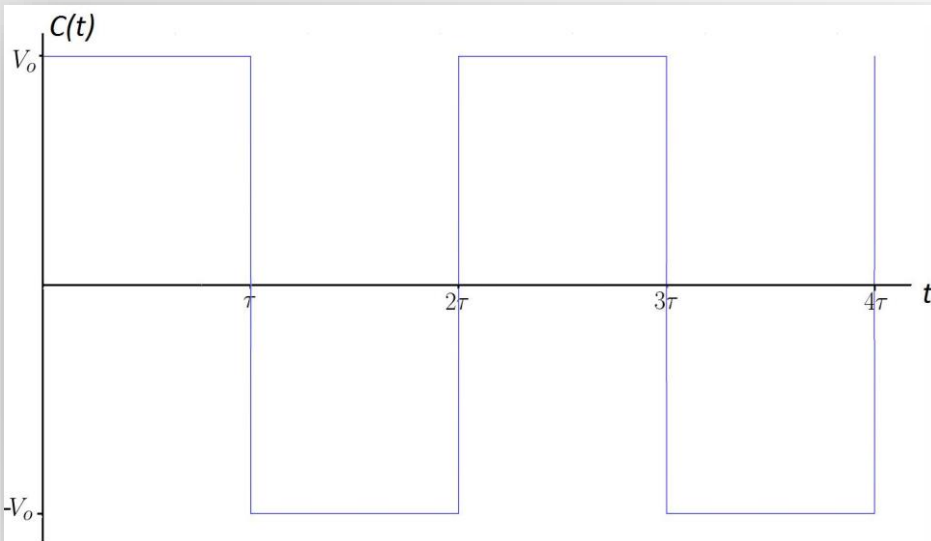
Para el caso particular de una $S(t)$ de período 2τ tal que $2k\tau = t_1 - t_0$

$$\longrightarrow P\left(\frac{\pi}{\tau} n\right) = \alpha_n^2$$

Señal cuadrada:

$$C(t) = \begin{cases} -V_0 & t \in [-\tau, 0) \\ V_0 & t \in [0, \tau) \end{cases}$$

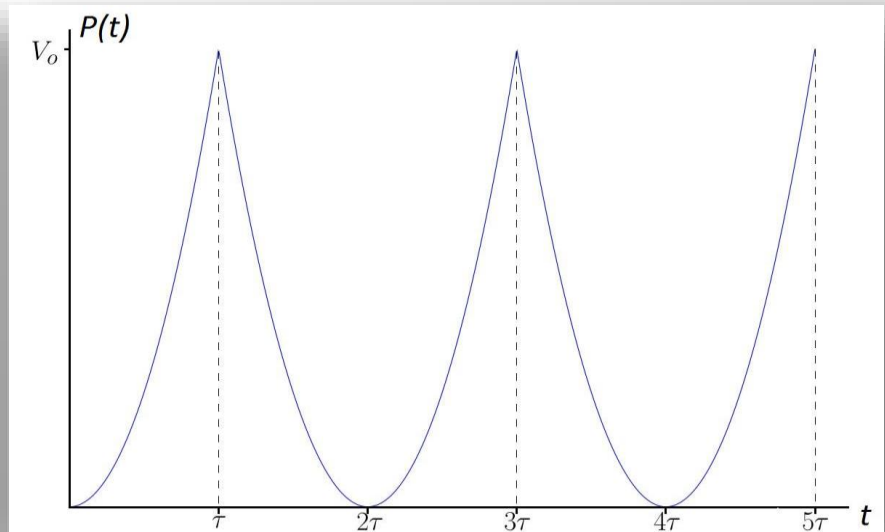
$$\alpha_n = \frac{2V_0(1 - (-1)^n)}{n\pi}$$



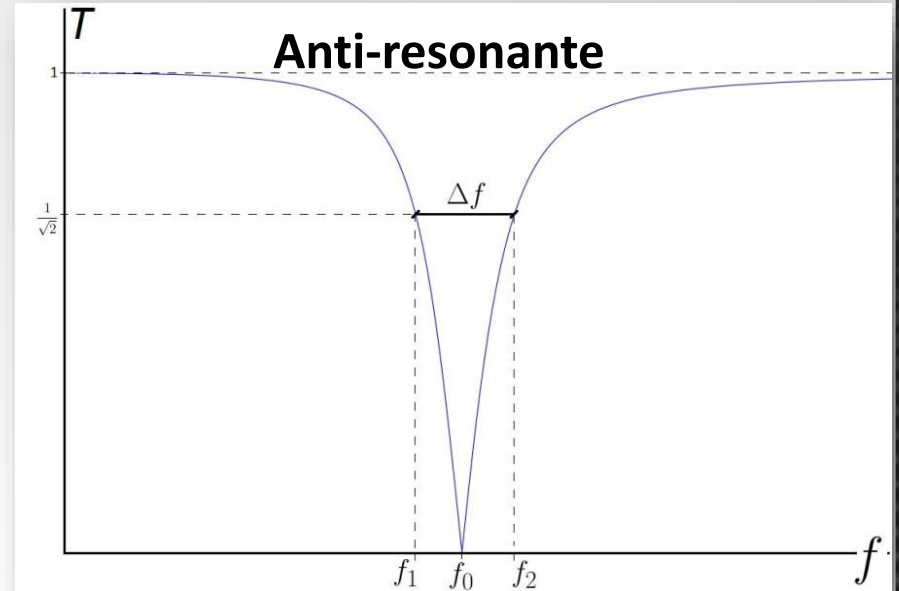
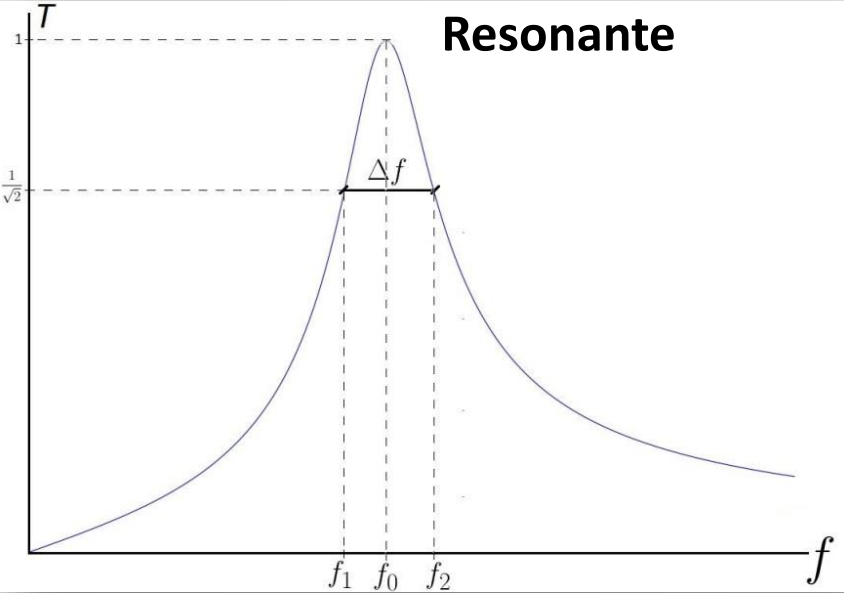
Señal parabólica:

$$P(t) = V_0 \left(\frac{t}{\tau} \right)^2 \quad t \in [-\tau, \tau]$$

$$\alpha_n = \frac{4V_0}{(n\pi)^2}$$



Circuito *RLC*



$$f_0 = \frac{1}{2\pi\sqrt{LC}}$$

$$\Delta f = \frac{R + R_L}{2\pi L}$$

$$\Delta f = \frac{1}{2\pi(R + R_L)C}$$

Configurando $f_0 = f_n$

$$T_R(f_n) = \frac{R}{(R_L + R)} \frac{\alpha_n}{V_0}$$

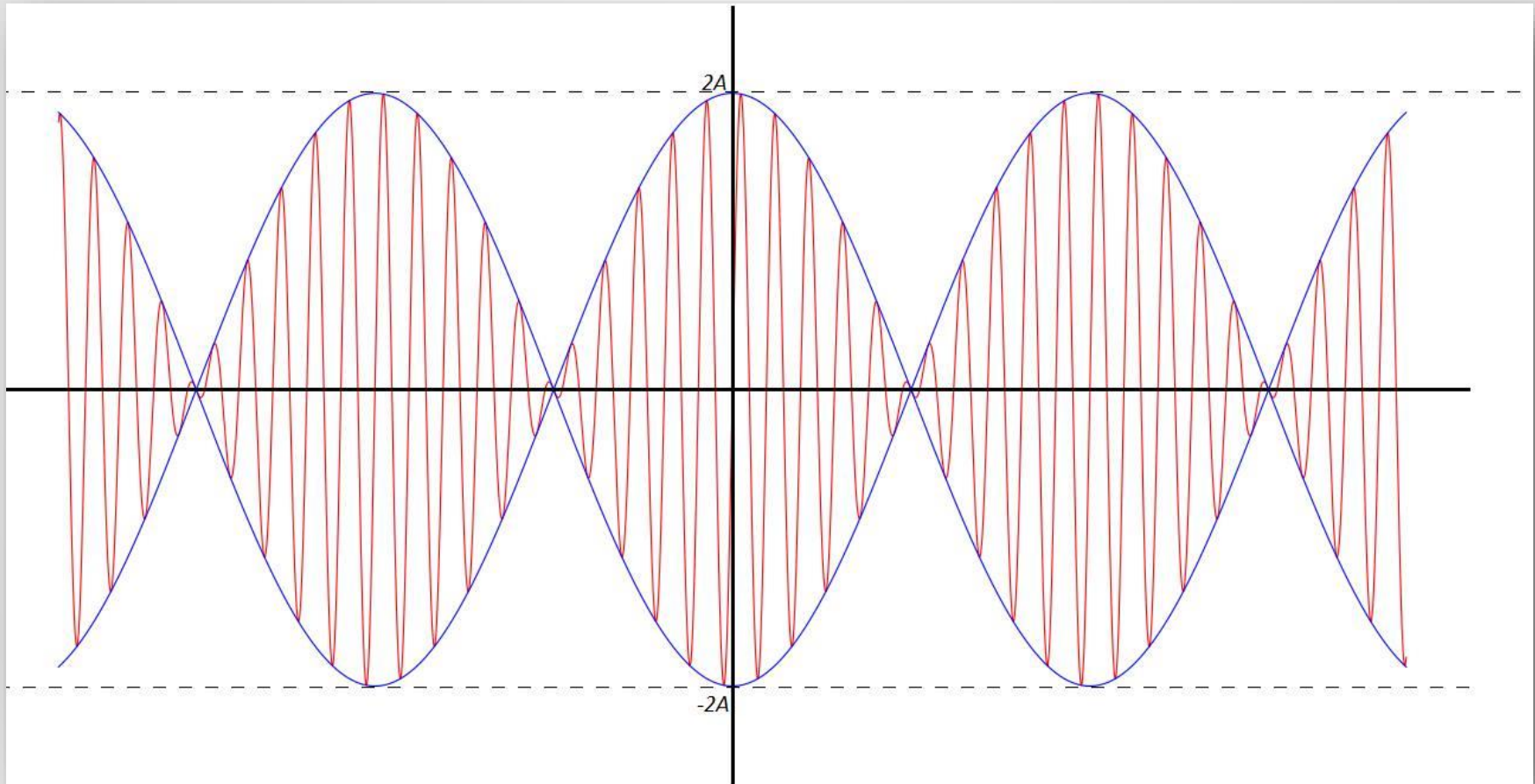
$$T_A(f_n) = 0$$

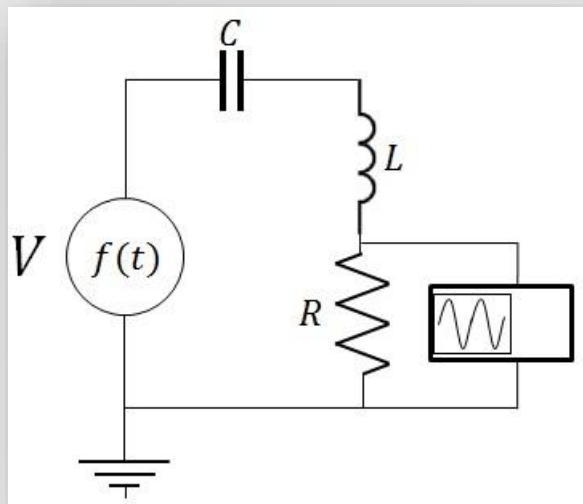
Batidos

$$\Delta\omega = \frac{\omega_2 - \omega_1}{2}$$

$$\bar{\omega} = \frac{\omega_2 + \omega_1}{2}$$

$$V(t) = A.\sin(\omega_1 t) + A.\sin(\omega_2 t) = 2A.\cos(\Delta\omega t).\sin(\bar{\omega} t)$$





Circuito RLC resonante

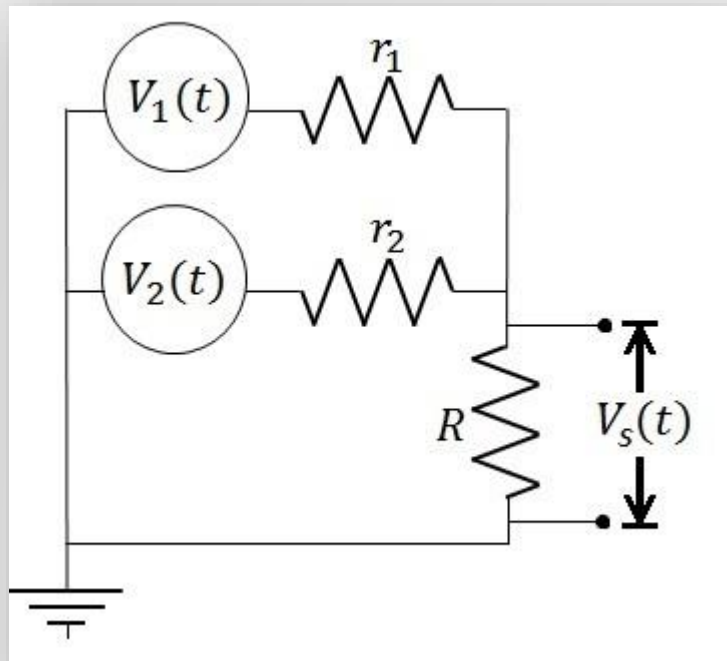
Parámetros del RLC resonante:

- $R=(750\pm7)\Omega$
- $L=(1003 \pm 5)\text{mH}$
 - $R_L=(243 \pm 2) \Omega$
- $f_s=(500,00 \pm 0,05)\text{Hz}$
- $\Delta f=(158\pm 3)\text{Hz}$
- $\frac{R}{R_L+R}=(0,75\pm 0,01)$

Armónico	Capacitancia (nF)	Frecuencia de Res.(HZ)
1	101±4	500±11
2	25,0±1,3	1005±29
3	10,7±0,7	1536±54
4	6,00±0,03	2046±56
5	4,02±0,19	2506±65
6	2,98±0,14	2911±76
7	1,99±14	3562±107

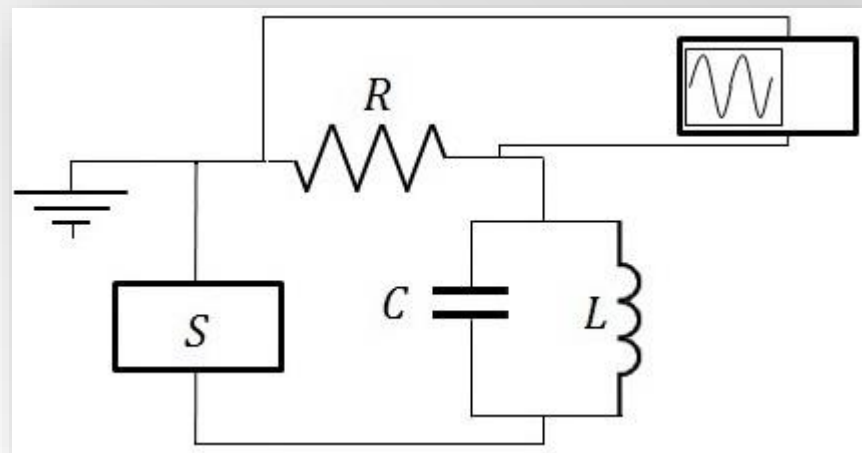
Tabla de capacitancias usadas para filtrar cada armónico de f_s

Circuito sumador (S)



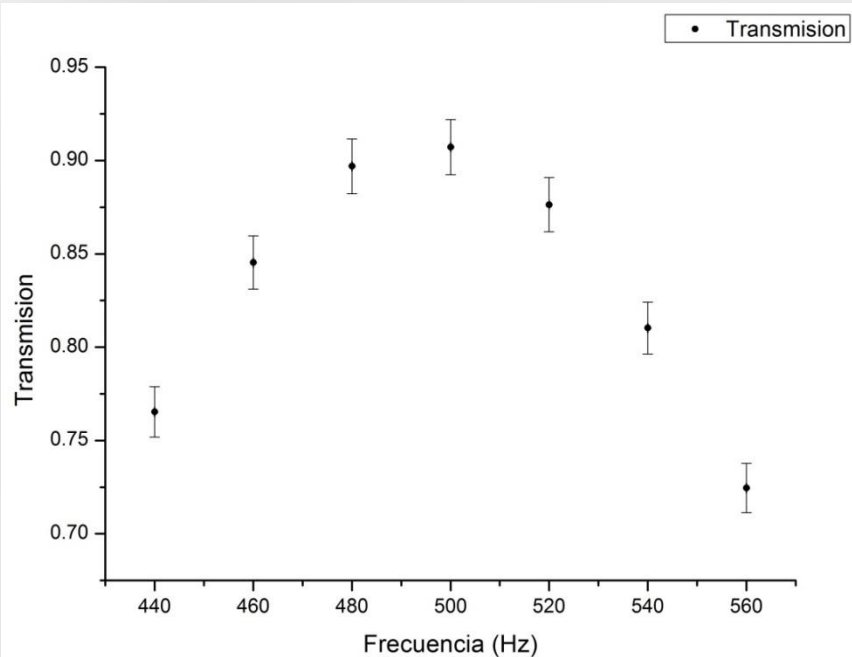
- $r_1 = r_2 = (10,5 \pm 0,4) \, \Omega$
- $R = (200 \pm 3) \, \Omega$

Circuito RLC anti-resonante



Parámetros:

- $R = (7500 \pm 70) \, \Omega$
- $L = (10,0 \pm 0,3) \, \text{mH}$
 - $R_L = (5,8 \pm 0,1) \, \Omega$
- $C = (101,2 \pm 0,8) \, \text{nF}$
- $f_0 = (5003 \pm 95) \, \text{Hz}$
- $\Delta f = (210 \pm 4) \, \text{Hz}$
- $f_1 = (10844 \pm 1) \, \text{Hz}$

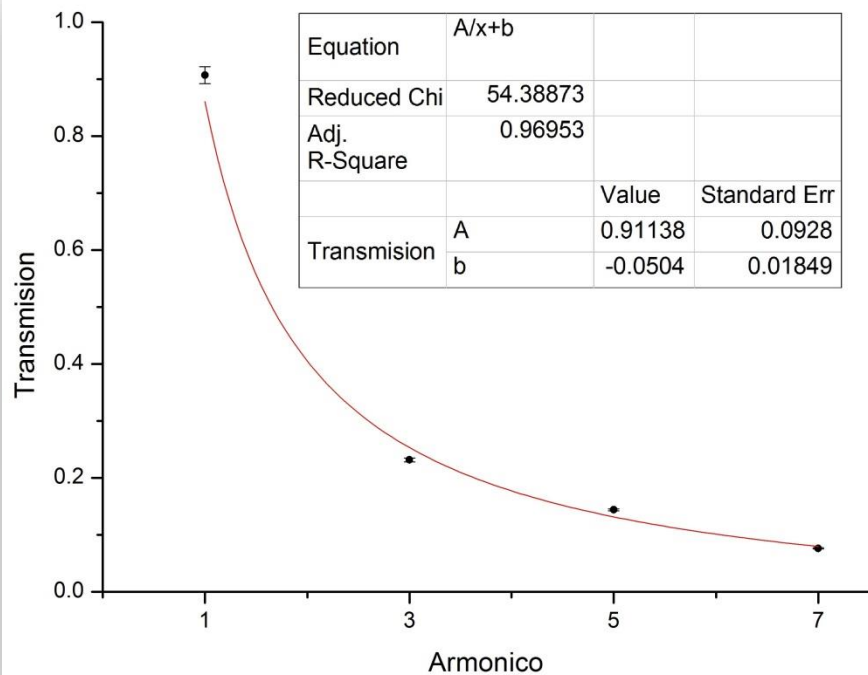


Todos los extremos para los distintos f_0 de la señal cuadrada se encontraron en $f_s = (500,00 \pm 0,05)Hz$

Ejemplo de transmisión vs f ; 1º armónico de la señal cuadrada

Armónico	f_s de máxima transmisión (Hz)
1	500,00 ± 0,05
2	500,00 ± 0,05
3	480,00 ± 0,05
4	480,00 ± 0,05
5	500,00 ± 0,05
6	480,00 ± 0,05

Frecuencia de máxima transmisión para los armónicos en la señal parabólica



Señal cuadrada :
Transmisión vs Armónico

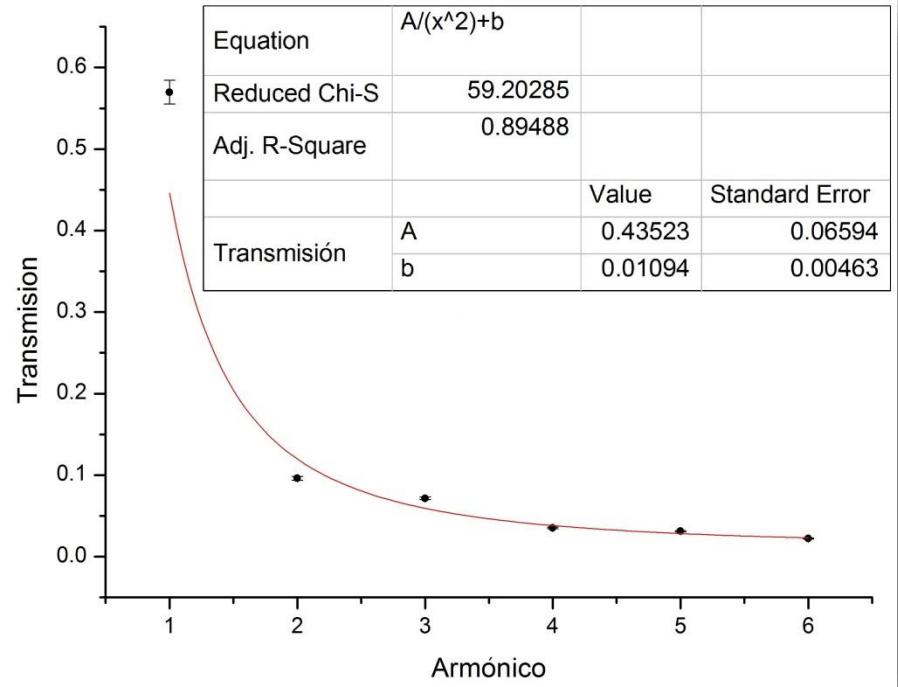
$$A=(0,91 \pm 0,09)$$

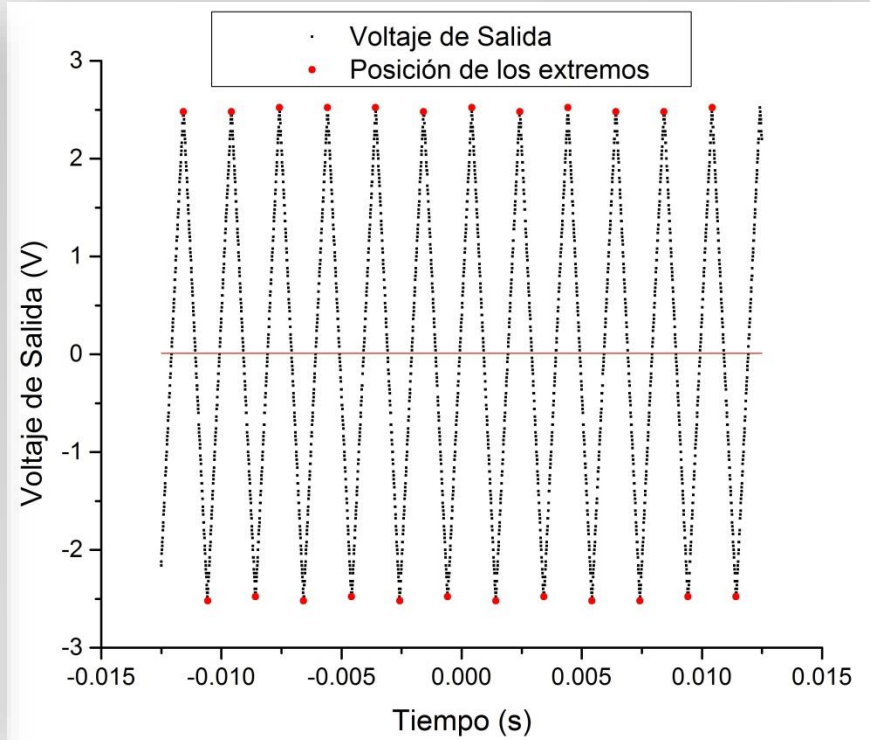
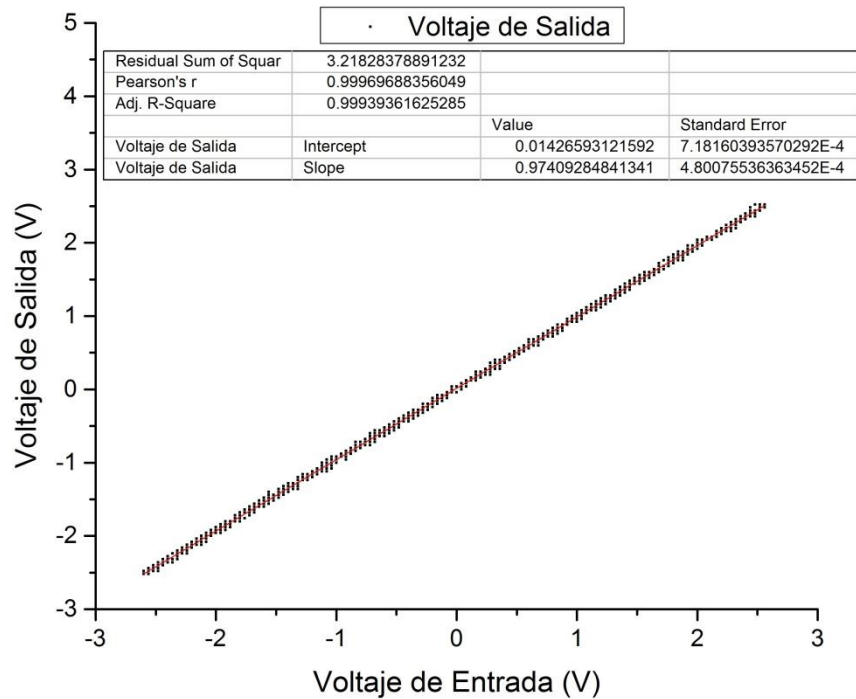
$$\frac{R}{R_L+R} \frac{4}{\pi}=(0,962 \pm 0,004)$$

Señal parabólica :
Transmisión vs Armónico

$$A=(0,44 \pm 0,07)$$

$$\frac{R}{R_L+R} \frac{4}{\pi^2}=(0,3060 \pm 0,0012)$$



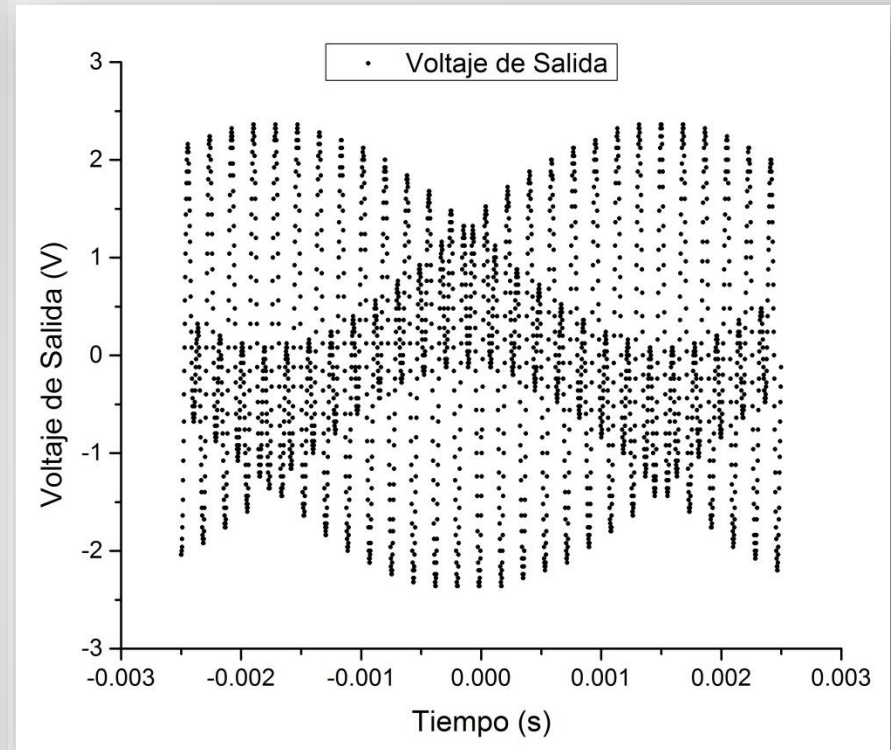
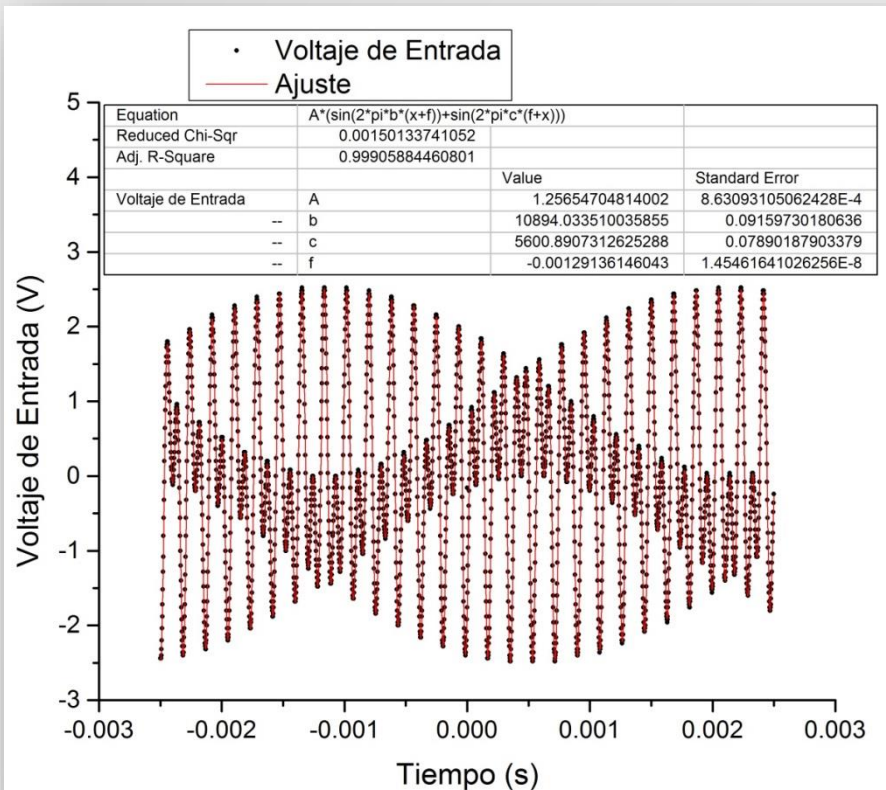


Respuesta del circuito sumador para una señal triangular

$$m = (0,9741 \pm 0,0005)$$

$$f = (500 \pm 1)Hz$$

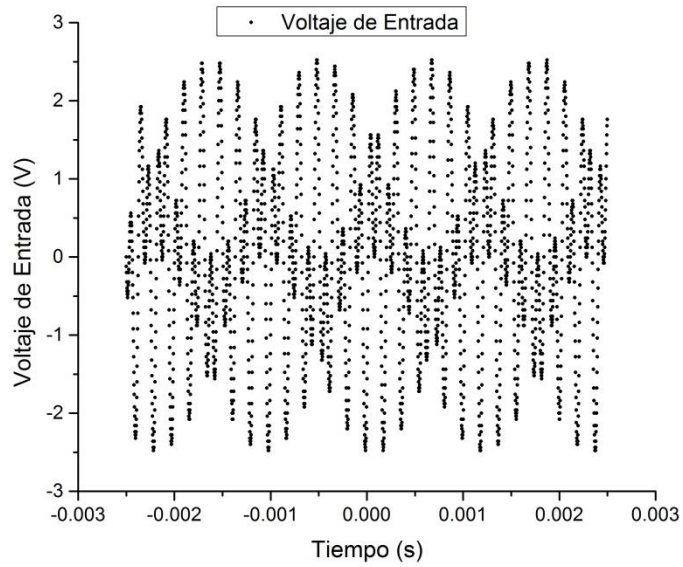
$$D = (2 \pm 4)\mu s$$



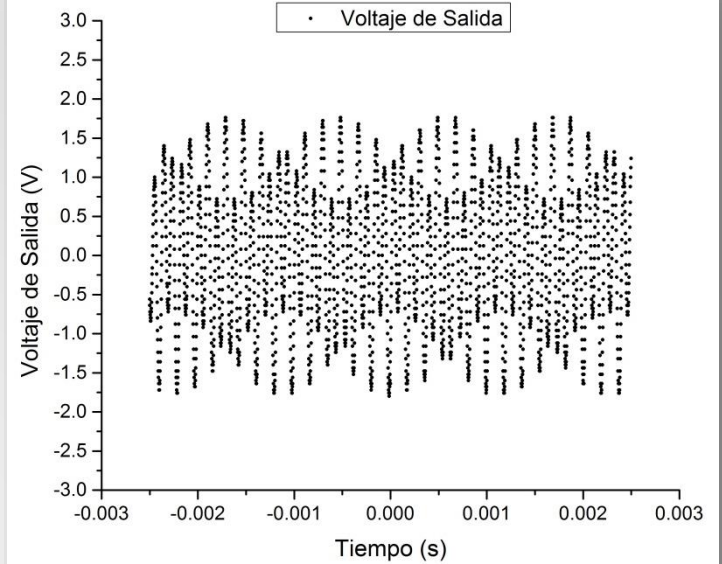
V de entrada y salida vs t, del RLC anti-resonante, de dos señales sinusoidales con frecuencias $f_1 = (10844 \pm 1) \text{ Hz}$ y $f_2 = (5600,5 \pm 0,5) \text{ Hz}$

Del ajuste se obtuvieron valores para $f_1 = (10894,03 \pm 0,09) \text{ Hz}$ y $f_2 = (5600,89 \pm 0,07) \text{ Hz}$

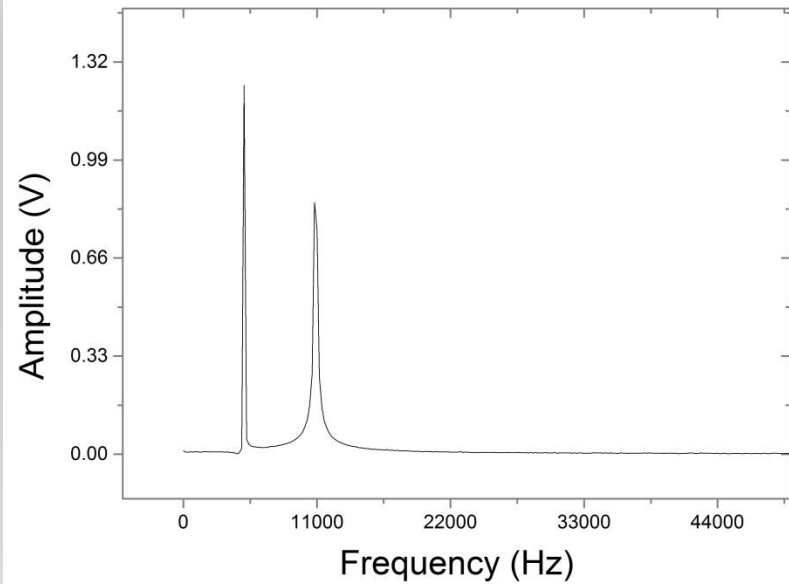
En este caso $f_2 = (5005,0 \pm 0,1)\text{Hz}$



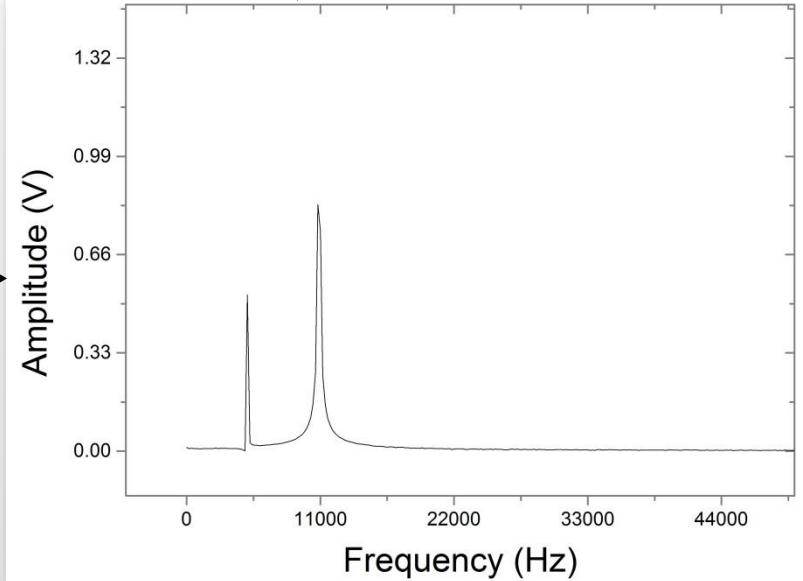
Filtrado

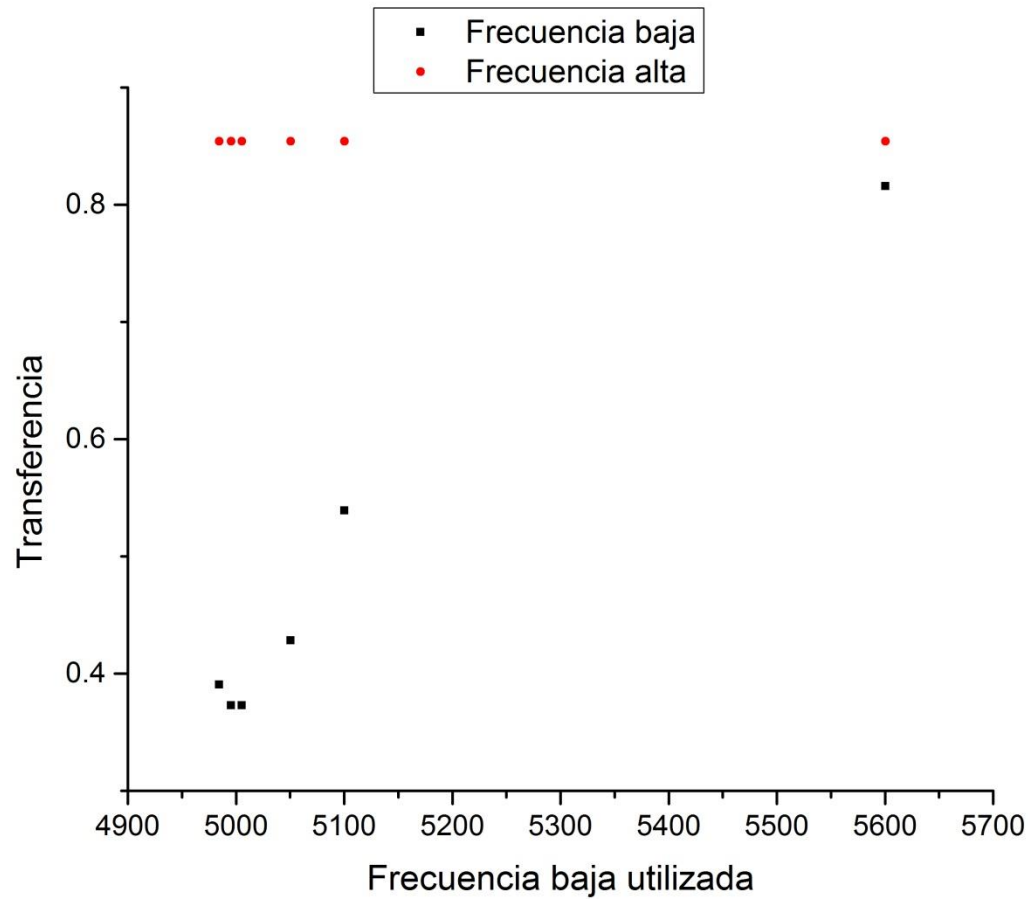


FFT



Filtrado





Análisis *FFT* utilizando el osciloscopio, manteniendo fija f_1 y variando la frecuencia baja f_2

Conclusiones:

- Las transmisiones en la señal parabólica no tuvieron el valor esperado. Esto puede deberse a que el ancho de banda del RLC resonante $\Delta f = (158 \pm 3)Hz$ era comparable con $f_s = (500,00 \pm 0,05)Hz$
- El sumador resultó efectivo a la hora de generar batidos, dado que no producía un atenuamiento mayor al 3%. Tampoco variaba la frecuencia o generaba un desfase.
- A pesar de que se logró atenuar la señal con $f_{baja} = (5005,5 \pm 0,5)Hz$ con el circuito RLC anti-resonante, no se logró eliminar completamente esta señal.